

Fig. 1

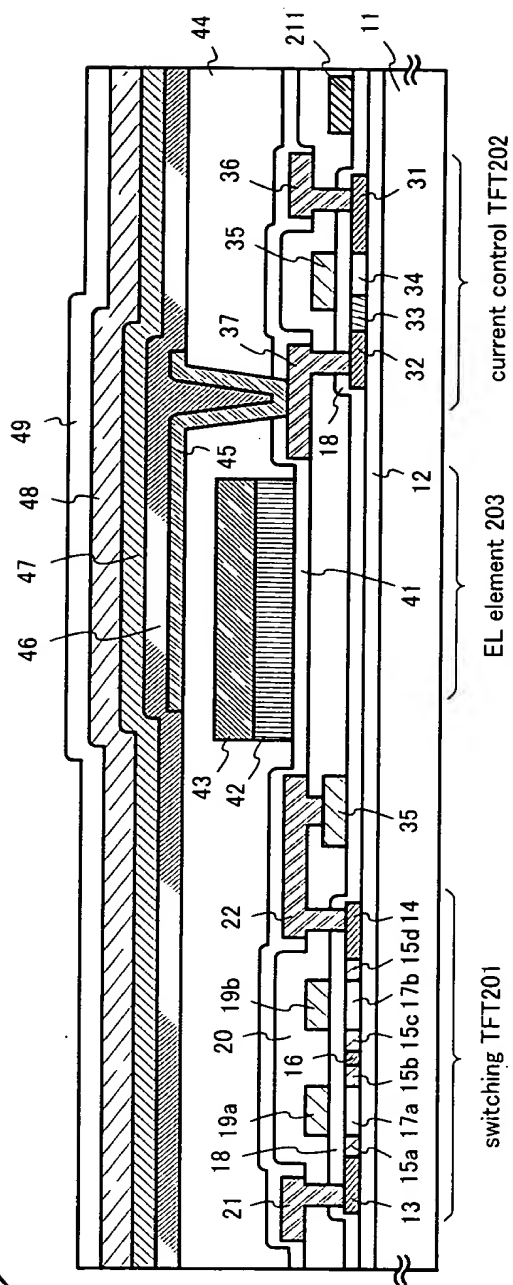


Fig. 2A

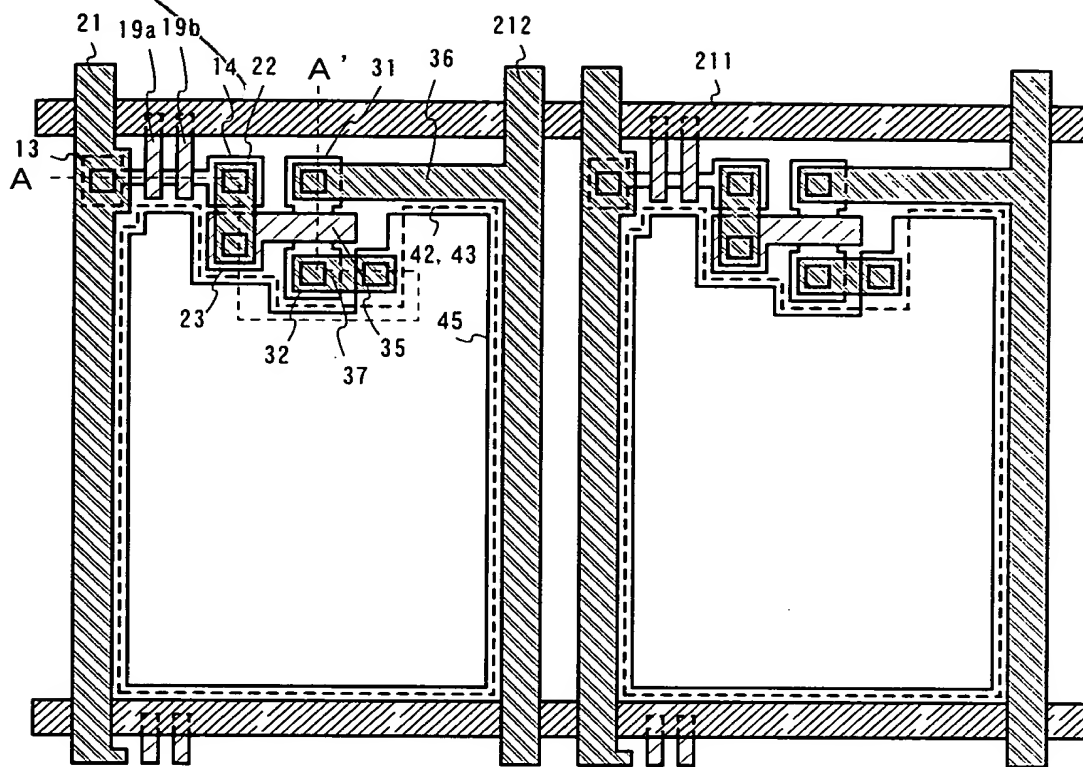
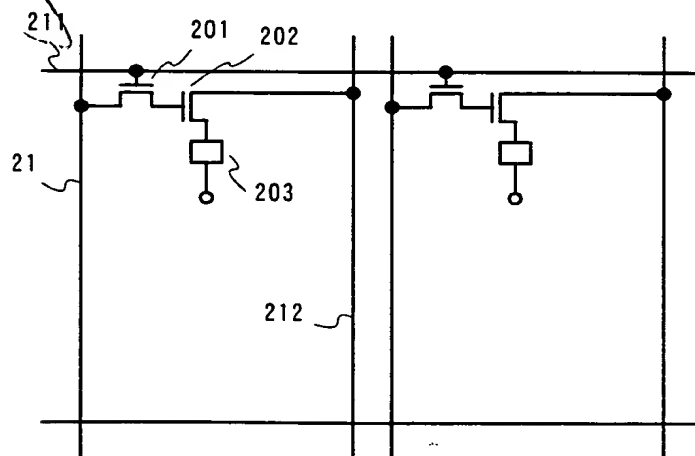
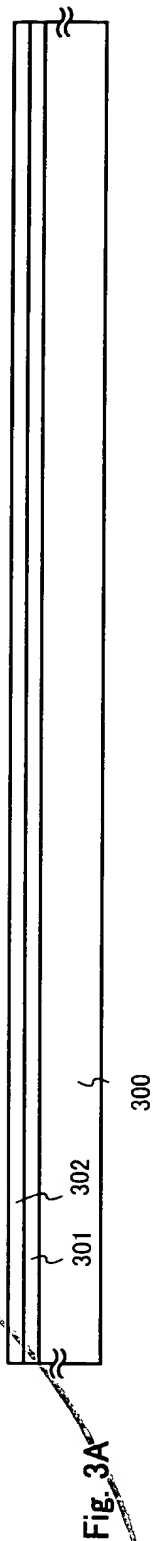


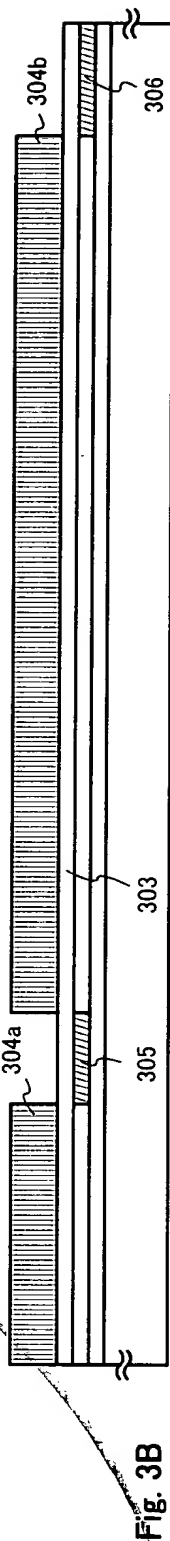
Fig. 2B



crystallization process



n-type impurity adding process



laser annealing process



Fig. 3D

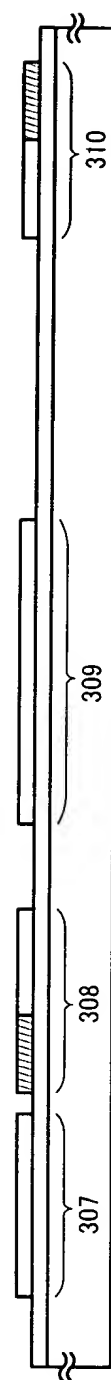
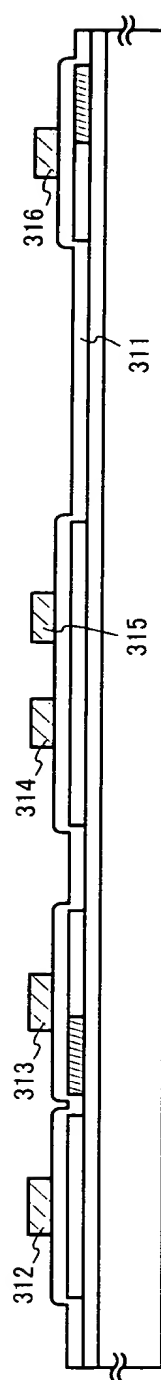


Fig. 3E



n-type impurity adding process

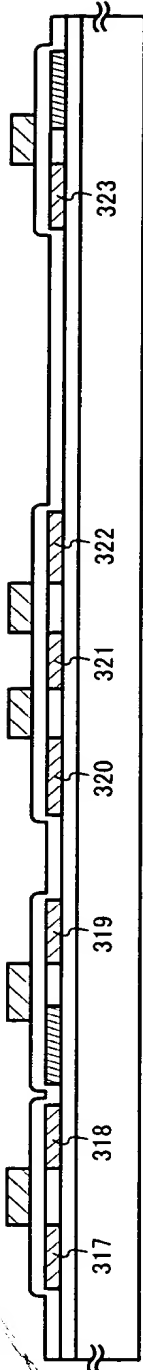


Fig. 4A

n-type impurity adding process

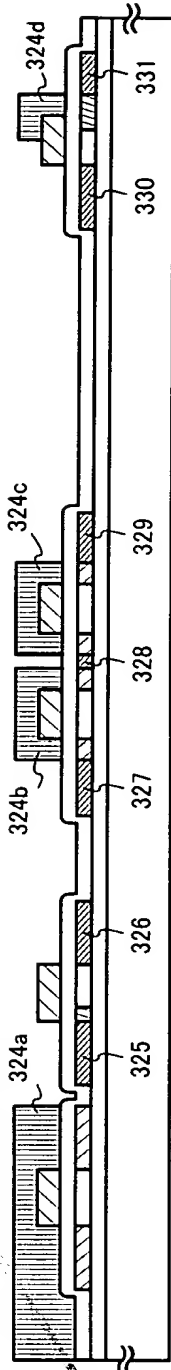


Fig. 4B

p-type impurity adding process

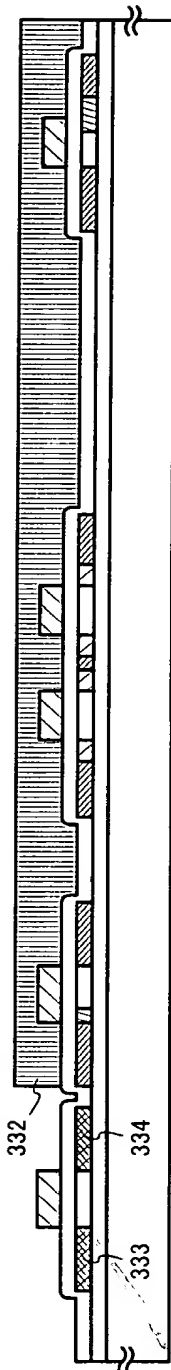


Fig. 4C

335

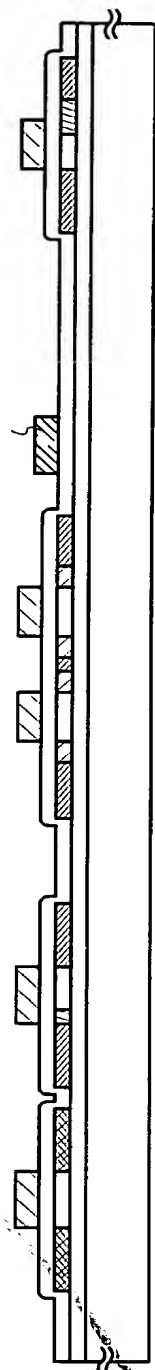


Fig. 4D

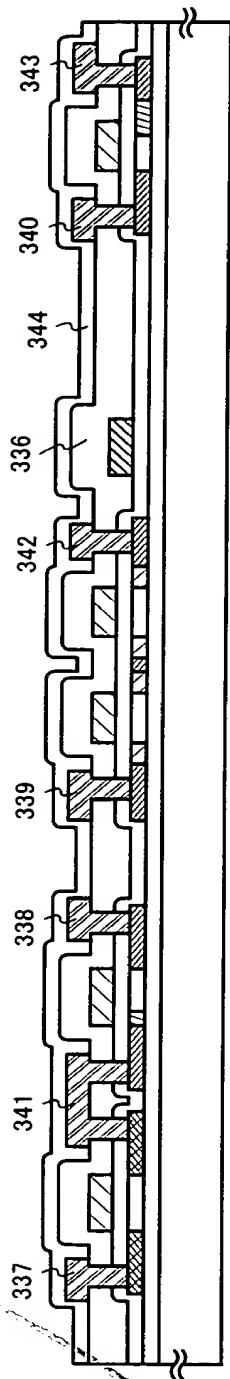


Fig. 5A

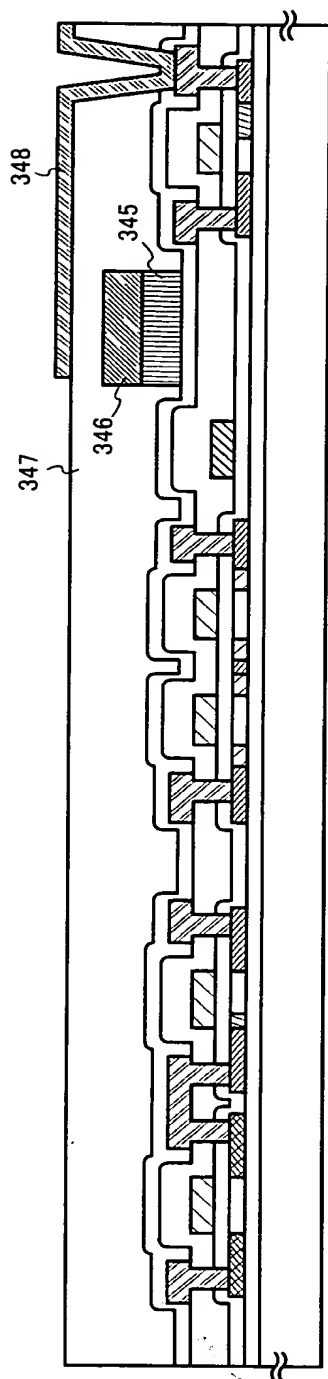


Fig. 5B

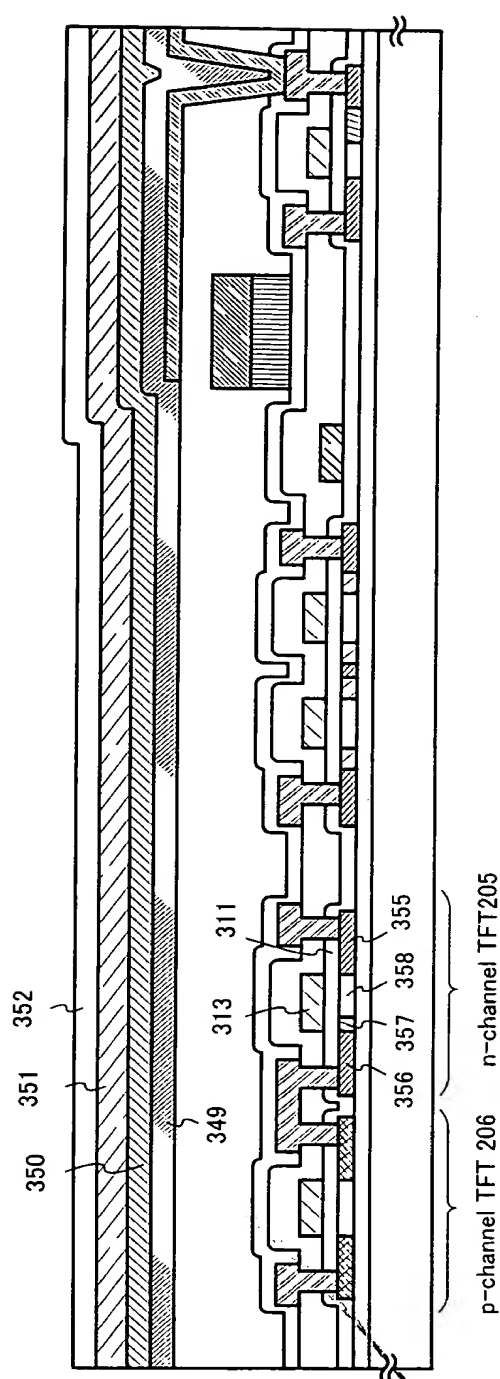
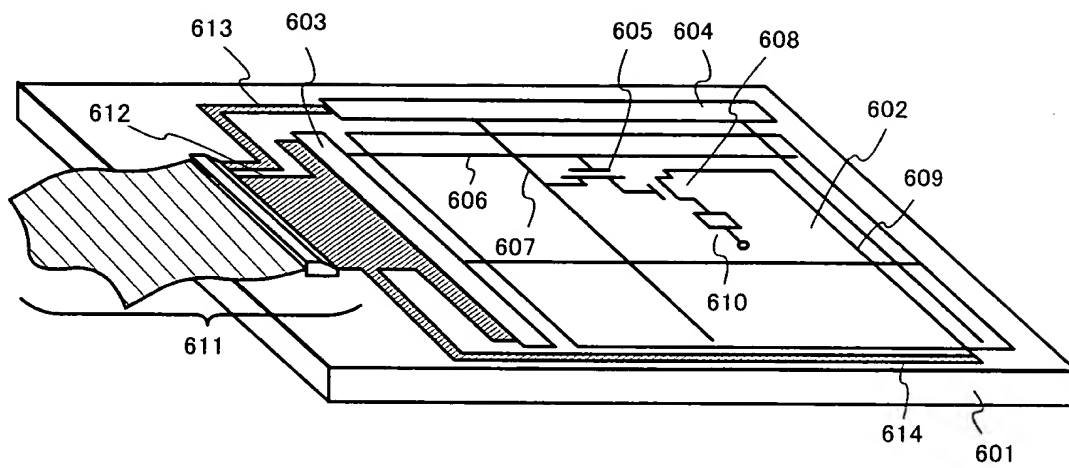


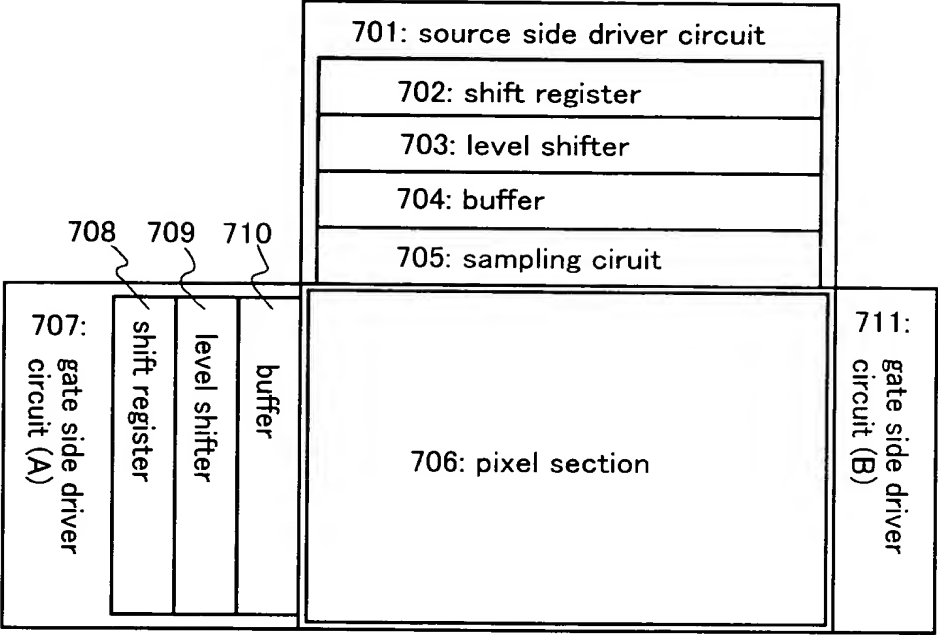
Fig. 5C

Fig. 6



009250-96882560

Fig. 7



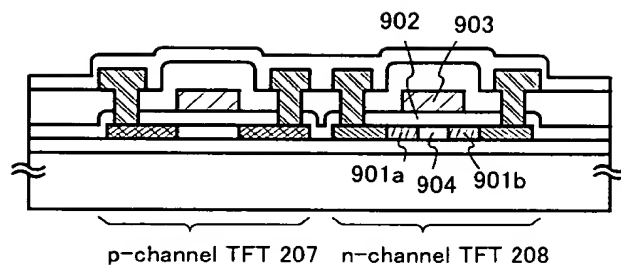
095738395 052500

[illegible]



009250 96882560

Fig. 9



009250" 96832560

Fig. 10

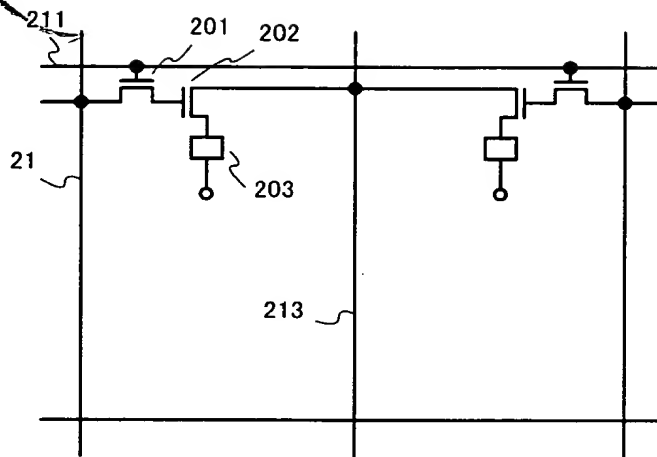


Fig. 11

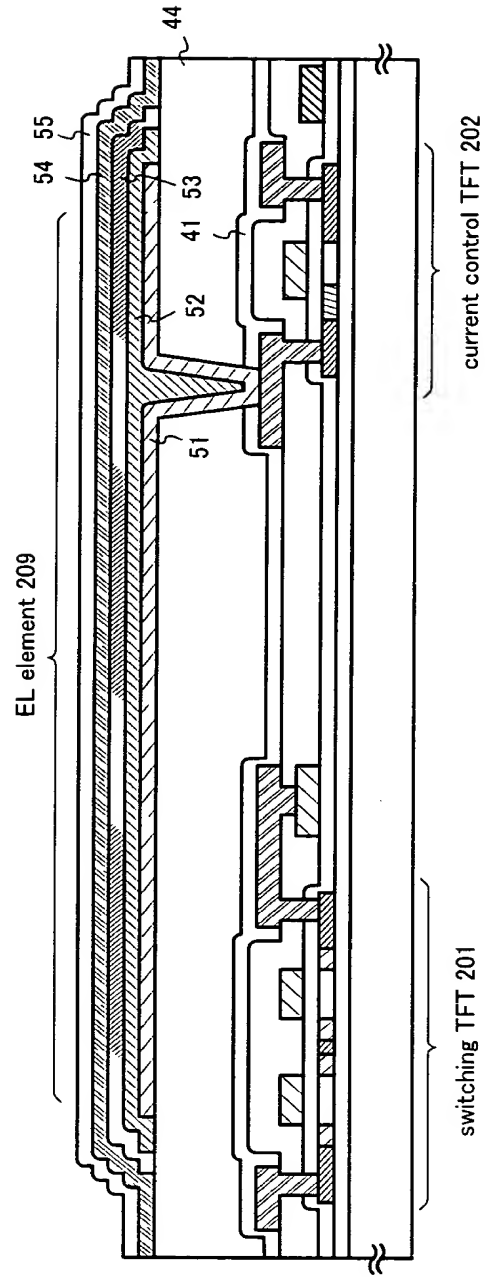


Fig. 12A

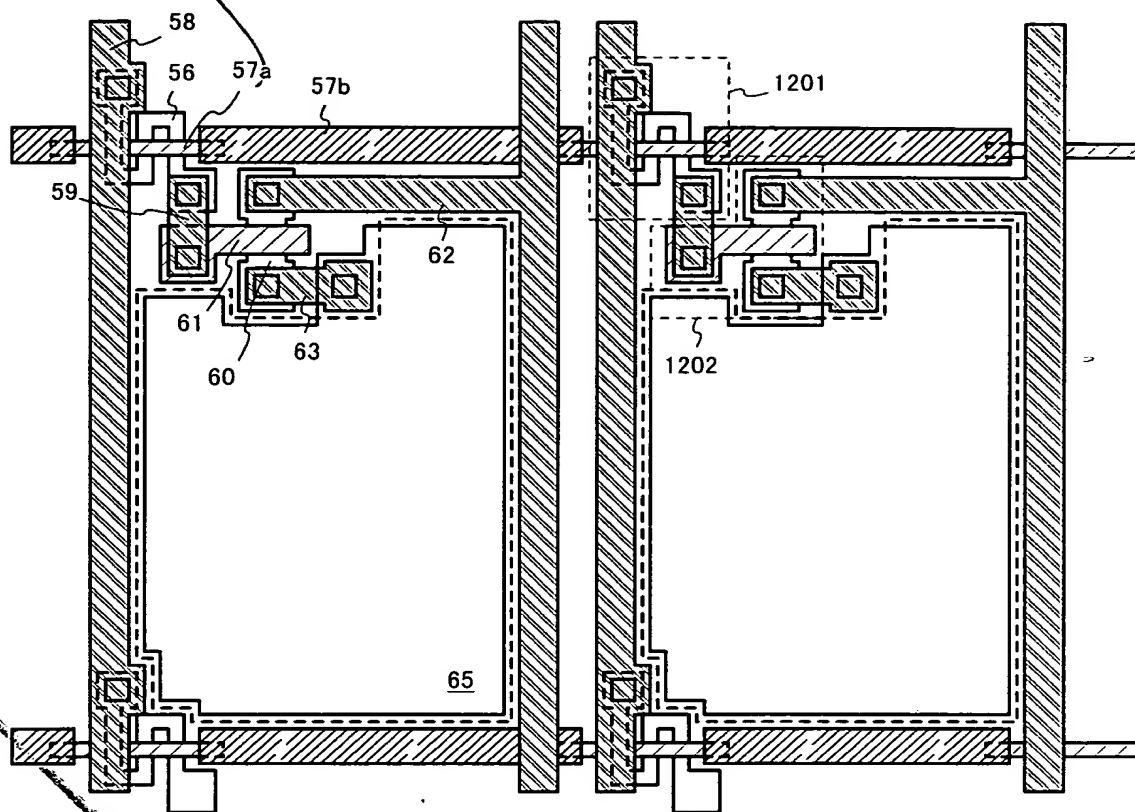


Fig. 12B

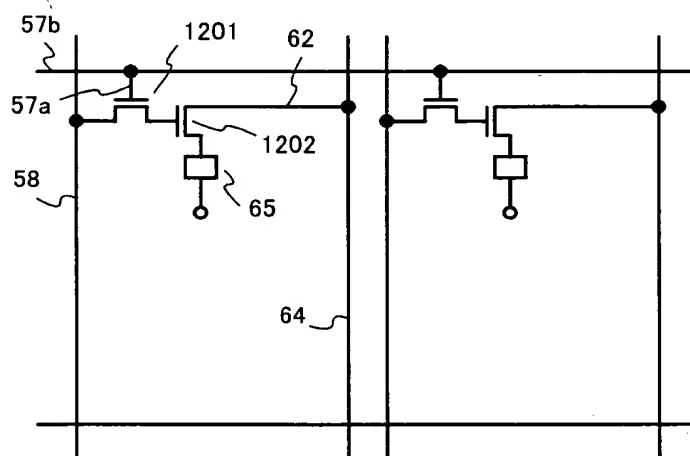


Fig. 13

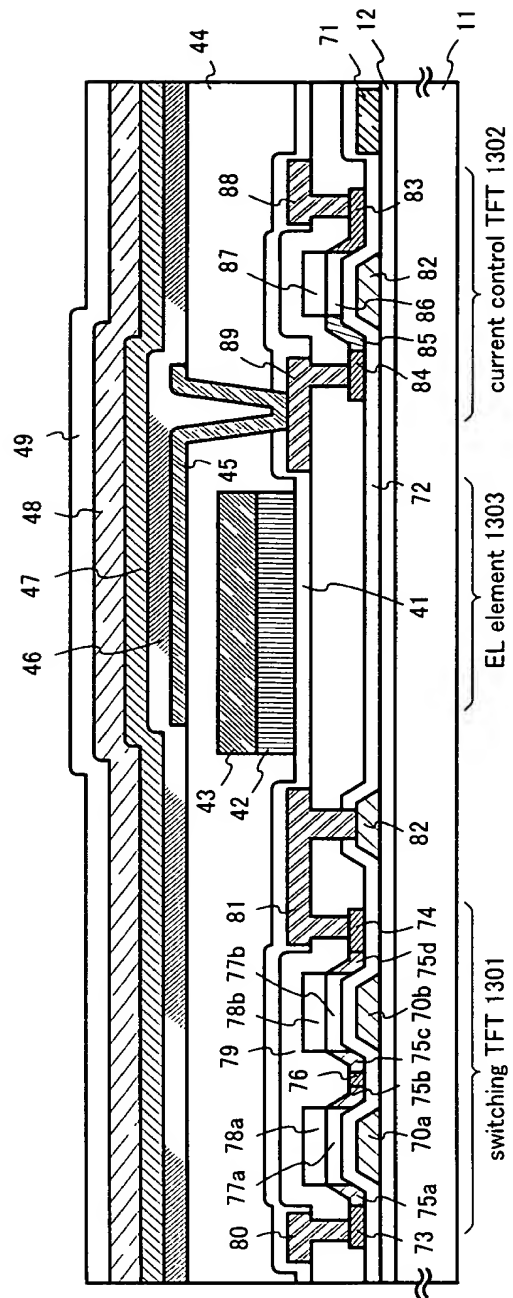


Fig. 14

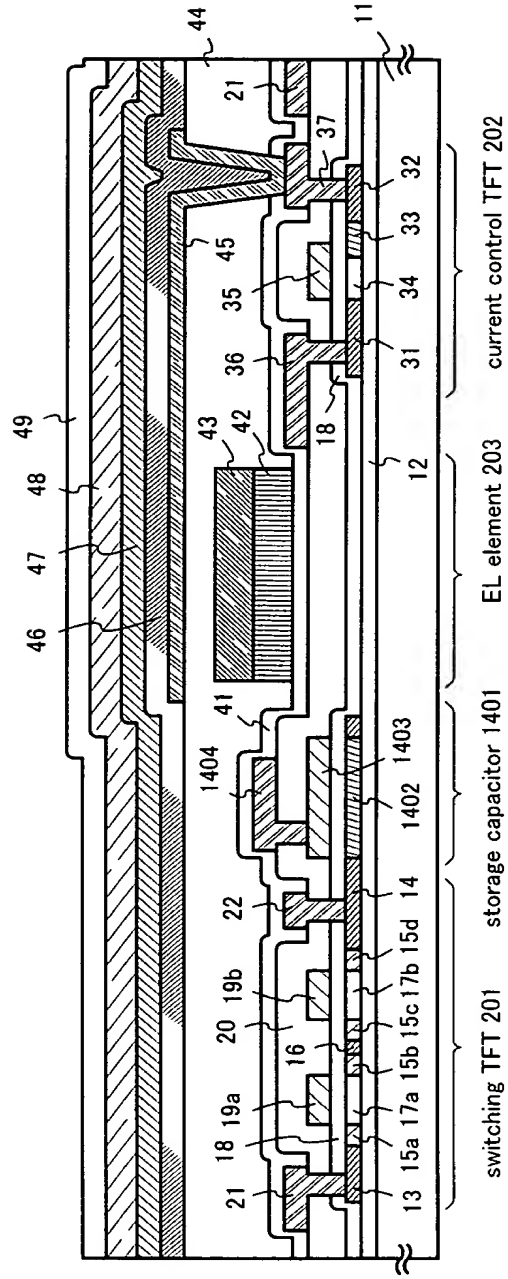


Fig. 15A

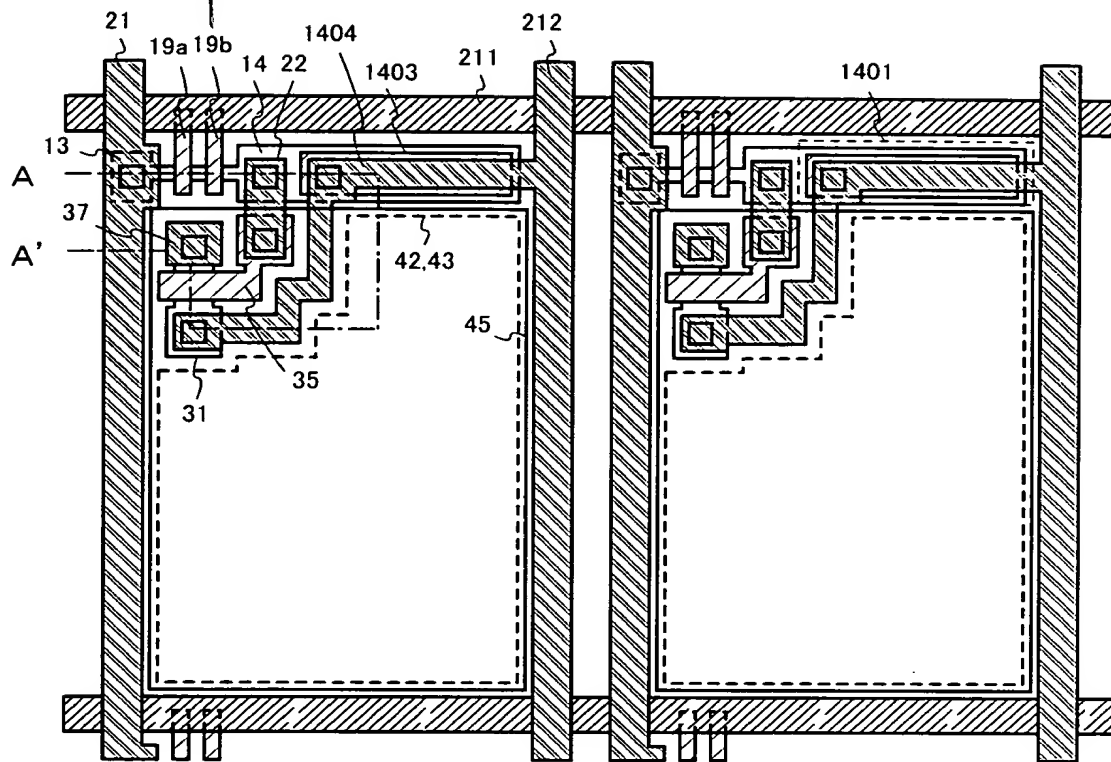


Fig. 15B

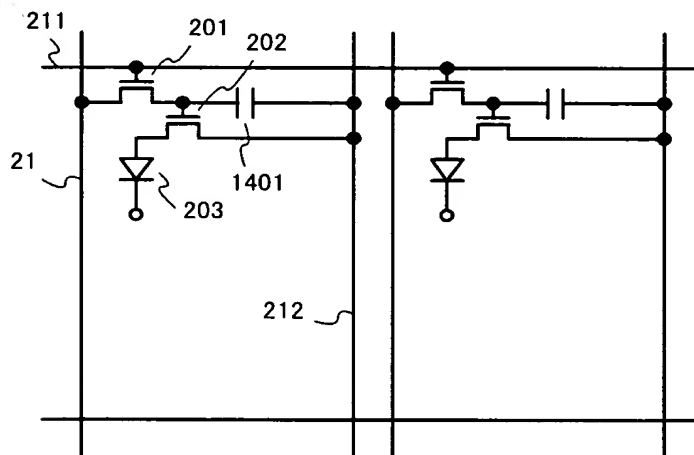


Fig. 16A

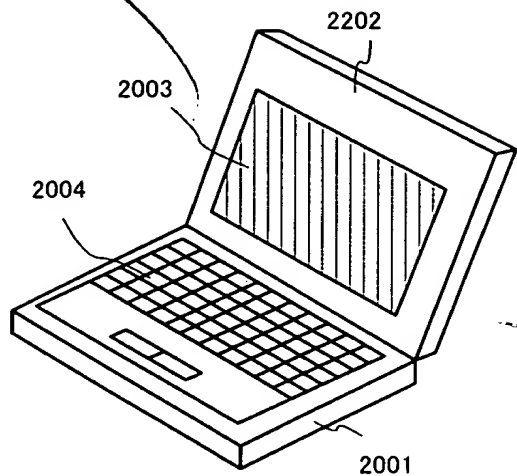


Fig. 16B

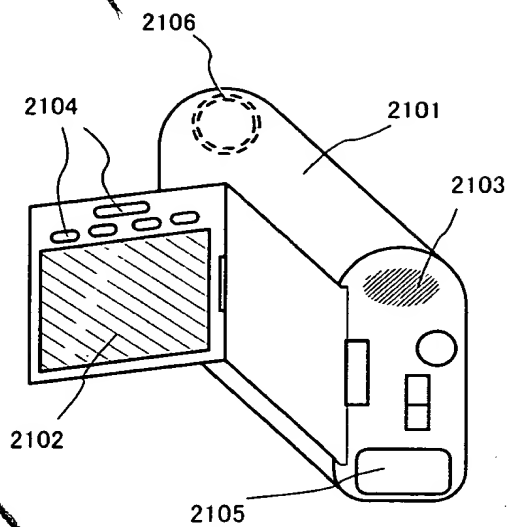


Fig. 16C

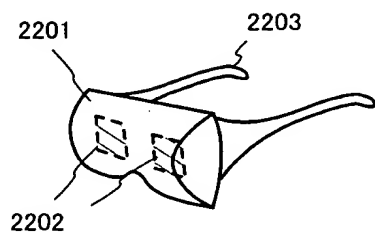


Fig. 16D

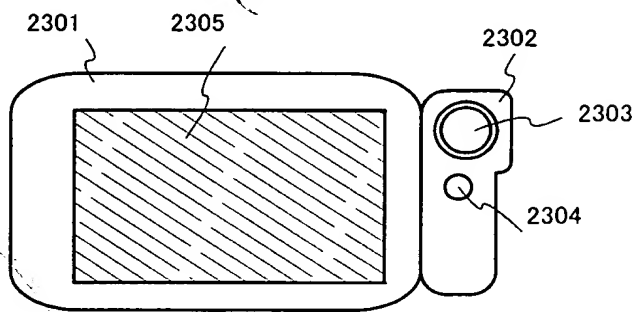


Fig. 16E

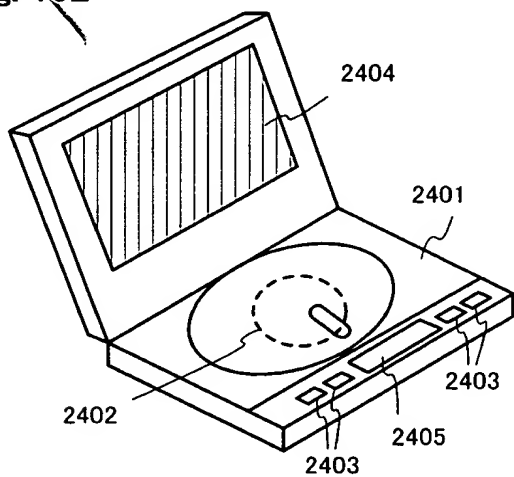


Fig. 16F

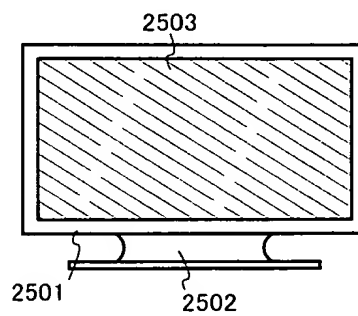




Fig. 17A

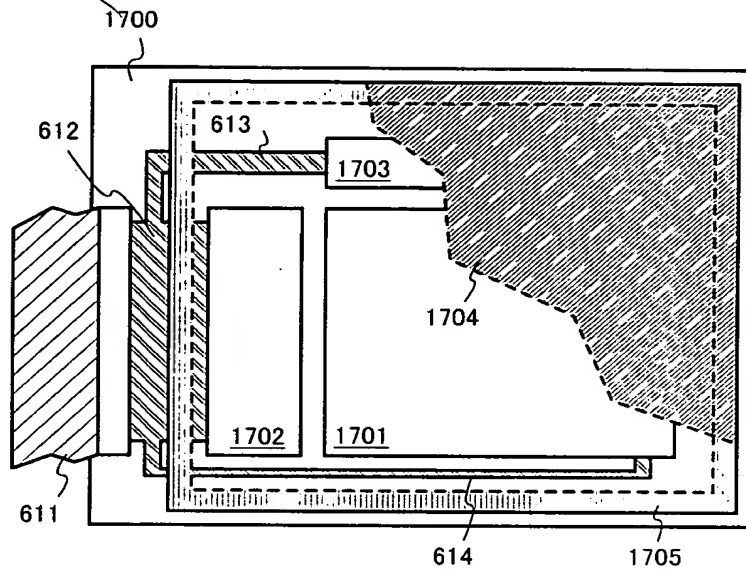
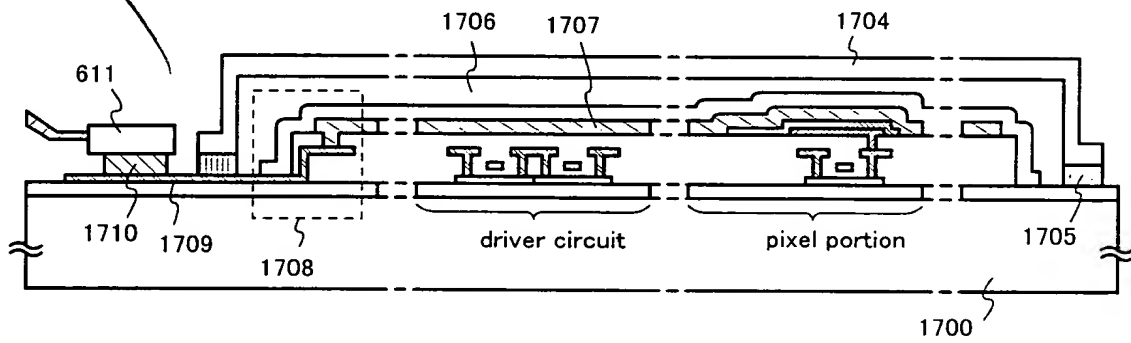


Fig. 17B



00528895-052600

Fig. 18A

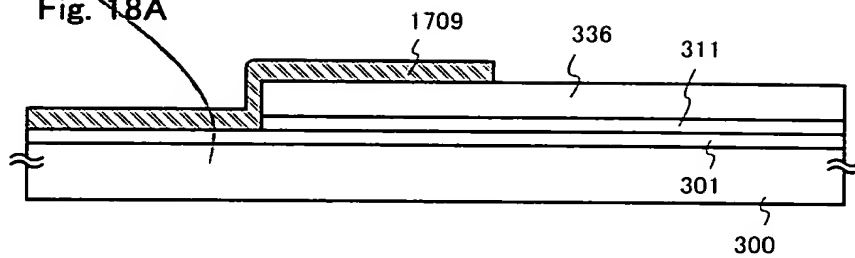


Fig. 18B

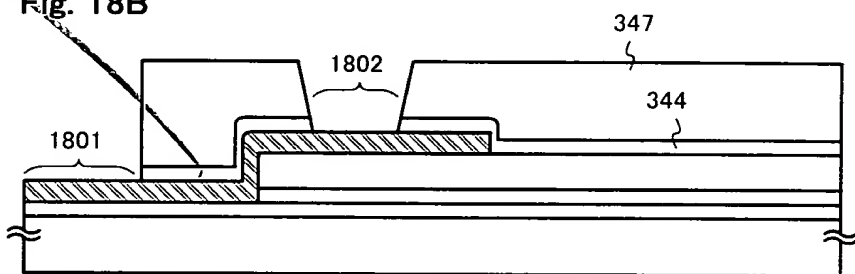
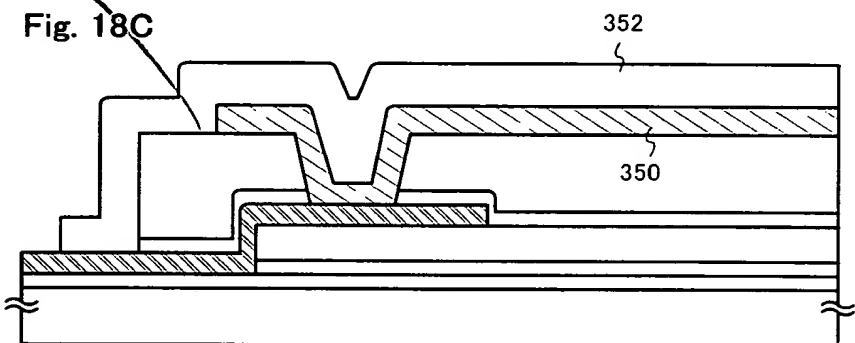
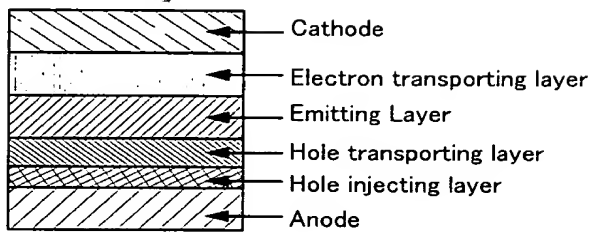


Fig. 18C



009290 5682560

Fig. 19



009250" 5684560

Fig. 20A

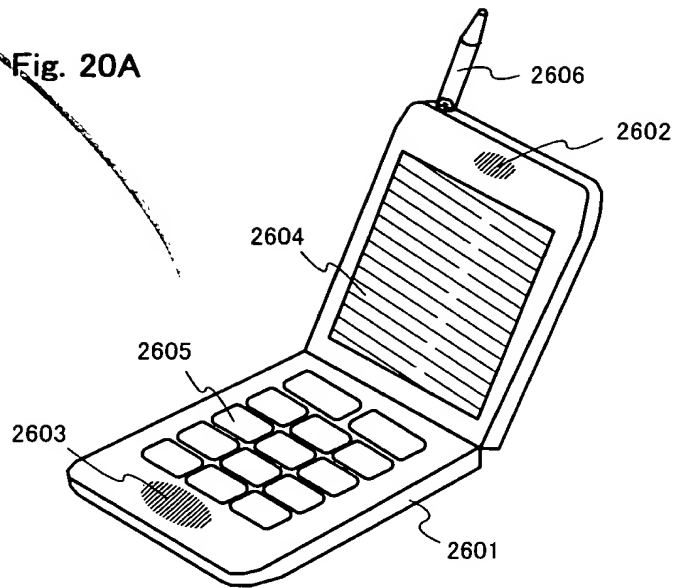
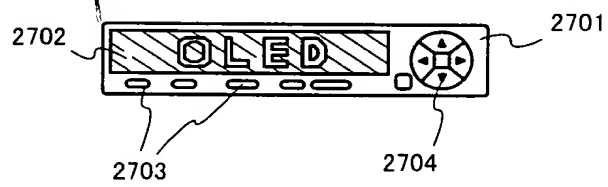


Fig. 20B



009250 96882560

Fig. 21A

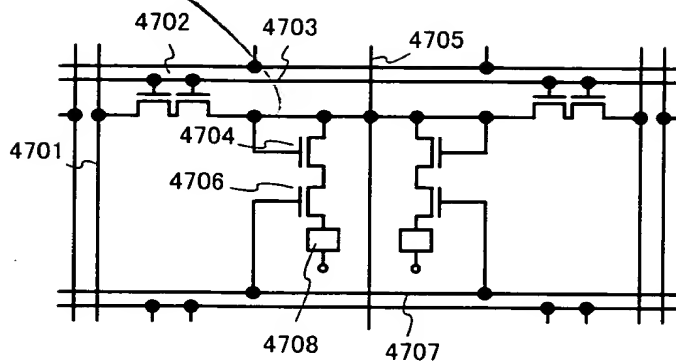
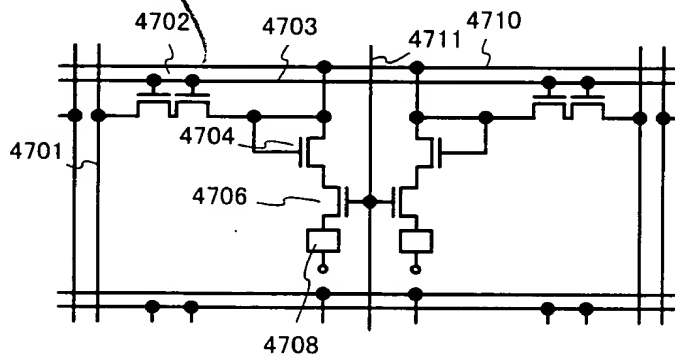
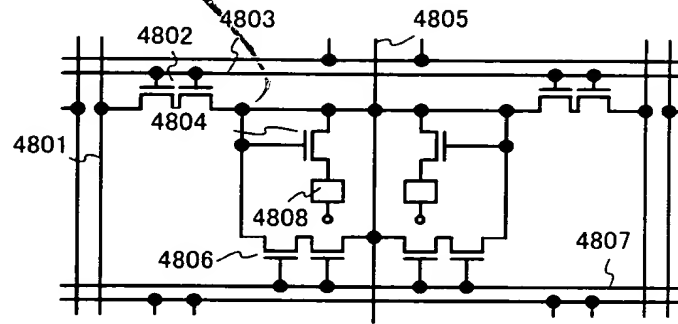


Fig. 21B



**Fig. 22A**



**Fig. 2.2B**

